

## **Dokumentacja projektu z przedmiotu PSZT**

### **Temat: Stwórz sieć neuronową, która klasyfikuje transakcje bankową jako podejrzaną**

#### **1. Zastawienie kluczowych decyzji projektowych**

- Perceptron wielowarstwowy,
- Opracowanie sieci neuronowej w bibliotece keras w celu zbadania czy opracowanie podejście ma szansę powodzenia.
- Opracowanie zbalansowanych danych (oryginalnie silnie nie zrównoważone dane) po wcześniejszej ich eksploracji
- Implementacja sieci neuronowej wraz z algorytmem wstecznej propagacji gradientu (metoda gradientu prostego) w taki sposób aby można było dowolnie modyfikować parametry liczba warstw, liczba neuronów w warstwie, liczba epok, learning rate, parametr regularyzacji, batch size czy liczbę podziałów w walidacji k-fold.

#### **2. Instrukcja dla użytkownika**

- Projekt został umieszczony w Jupyterze w dwóch wersjach, które odpowiadają dwóm podejściom do rozwiązania problemu silnie nie zrównoważonego zbioru danych.
- Aby program został uruchomiony poprawnie należy w folderze 'data' umieścić pliki ściągnięte z:  
[https://github.com/maciej3031/bank\\_transactions\\_classifier/tree/master/data](https://github.com/maciej3031/bank_transactions_classifier/tree/master/data)  
Są to zbiory treningowo-walidacyjny oraz testowy użyte do wytrenowania sieci.
- Wymagane biblioteki: numpy, pandas, matplotlib i tqdm. Zalecane jest uruchomienie wirtualnego środowiska Pythona i instalacja w/w pakietów lub skorzystanie z gotowego pakietu naukowego jakim jest Anaconda.
- Notebooki zostały tak sformułowane, że do uzyskania wyników wystarczy je uruchomić. Podczas ich wykonywania sieć zostanie nauczona na zadanych parametrach a następnie w dalszej części widoczne będą wyniki.
- Całość można też pobrać z:  
[https://github.com/maciej3031/bank\\_transactions\\_classifier](https://github.com/maciej3031/bank_transactions_classifier)

#### **3. Opis struktury programu**

##### **3.1. Struktura sieci**

Do stworzenia sieci neuronowej wybrano perceptron wielowarstwowy. Zaimplementowano dwie możliwe funkcje aktywacji: relu oraz sigmoid, możliwość wyboru parametru learning rate i liczby epok. Ponadto zaimplementowano możliwość trenowania różnej wielkości porcjami danych (parametr batch size) oraz regularyzację jako dodatkowy czynnik w funkcji kosztu równy iloczynowi współczynnika regularyzacji i wag. Na stworzonej sieci eksperymentalnie ustalono liczbę neuronów w warstwie ukrytej oraz wszystkie inne parametry, aby finalnie dostać jak najlepsze wyniki. Na wyjściu znajduje się jeden neuron z funkcją aktywacji sigmoid, który klasyfikuje transakcję jako złą bądź dobrą z określonym prawdopodobieństwem. Parametr batch\_size ustalono jako rozmiar próbek w zbiorze uczącym.

### 3.2. Algorytm uczenia sieci

Częścią programu jest algorytm wstecznej propagacji gradientu. Jego celem jest minimalizacja funkcji kosztu, w tym przypadku została zastosowana funkcja MSE (błąd średnio-kwadratowy)

$$J(\theta) = \frac{1}{2} \|\bar{f}(x; \theta) - y\|^2$$

gdzie:  $\bar{f}(x; \theta)$  oznacza wektor wyjść,  $x$  wektor wejść,  $\theta$  wagi połączeń, a  $y$  to oczekiwany wynik.

Algorytm składa się z dwóch głównych kroków: `global_forward_step` i `global_backward_step`. W pierwszym następuje początkowe ustawienie wag oraz obliczenie wyjścia sieci. Natomiast w drugim kroku obliczany jest skumulowany gradient (metoda gradientu prostego), który dzielony jest przez liczbę transakcji w zbiorze treningowym, a potem przy pomocy jego uśrednionej wartości modyfikowane są wagi:

$$\theta_{k+1} = \theta_k - \alpha \times \nabla J(\theta)$$

Gdzie:  $\theta_k$  wagi początkowe,  $\theta_{k+1}$  wagi uaktualnione,  $\nabla J(\theta)$  to uśredniony gradient funkcji kosztu a  $\alpha$  to parametr learning rate.

### 3.3. Podział danych

Na początku programu następuje podział danych na część testową oraz treningowo-walidacyjną. Pierwsza z nich zapisana została do pliku 'train\_dataset.data' i nie jest używana podczas trenowania sieci. W niej znajdują się losowo wybrane 20% transakcji z silnie nie zrównoważonego zbioru danych. Zbiór ten będzie użyty do końcowej ewaluacji dwóch wybranych podejść. Żeby pozbyć się negatywnych skutków nie zrównoważonego zbioru danych treningowych i walidacyjnych, zastosowano dwa podejścia, które zostaną porównane we wnioskach:

- Podejście 1: Do utworzenia zbioru walidacyjno-treningowego wykorzystano wszystkie, znajdujące się w nim, złe transakcje oraz losowo wybrane dobre, których liczba jest równa liczbie tych pierwszych. Następnie zbiór ten podzielono na  $k = 5$  części i wykonano walidację k-fold. Konsekwencją tego podejścia jest to, że sieć uczy się tylko na małej części dobrych transakcji.
- Podejście 2: Ze zbioru walidacyjno-treningowego oddzielamy od siebie dobre i złe transakcje, żeby potem podzielić każdy z tych zbiorów na  $k = 5$  części i w każdym etapie k-fold wybierać po jednej do walidacji a pozostałe do treningu. Przed uczeniem się sieci oraz co każdą epokę do treningowego zbioru złych transakcji losowana jest taka liczba dobrych transakcji, ile jest złych, a następnie losowo mieszane są one ze sobą. Analogicznie w części walidacyjnej. W tym podejściu zwiększona jest liczba dobrych transakcji, na których uczy się sieć (zmieniamy je co epokę).

### 3.4. Prezentacja wyników

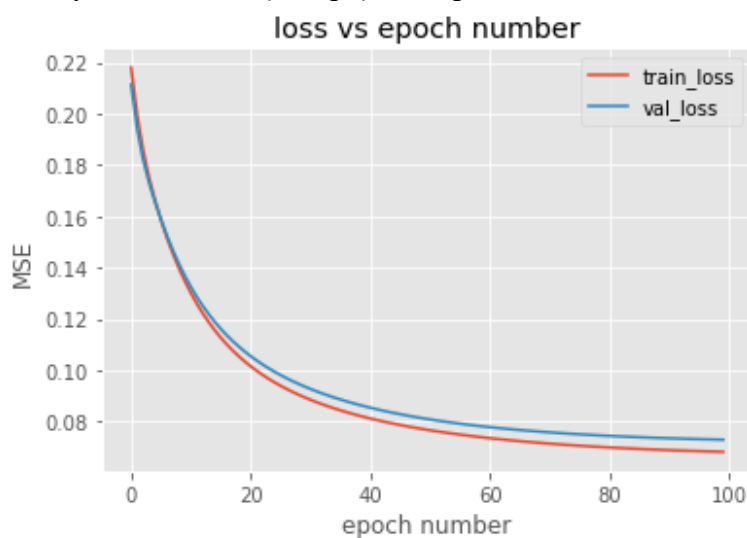
Do przedstawienia wyników uczenia się sieci neuronowej, które są we wnioskach, użyto krzywą uczenia się, ROC, confusion\_matrix oraz parametry tj, wartość f. kosztu, recall, precision, f1-score i accuracy.

#### 4. Wnioski

Ostateczna ewaluacja: Liczba epok = 100 dla podejścia 1 i 120 dla podejścia 2, learning\_rate = 0.03, współczynnik regularyzacji = 0.1, liczba neuronów w warstwie ukrytej = 512

##### 4.1. Wyniki pierwszego podejścia:

- Uśredniona krzywa uczenia się dla pięciu etapów k-fold



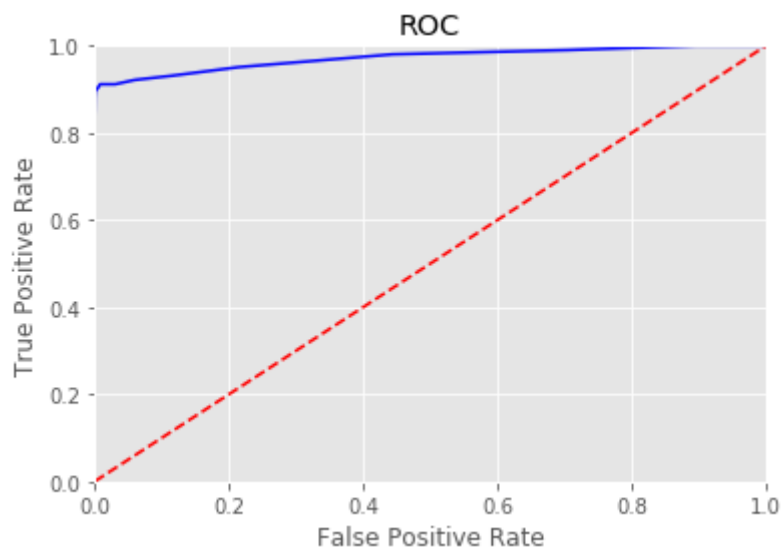
- Ewaluacja danych testowych, wartości f. kosztu, parametrów accuracy, precision, recall f-score oraz confusion matrix.

```
Loss: 0.0701891322517
Accuracy: 0.985025104455602
```

```
Precision: 0.09707724425887265
Recall: 0.9117647058823529
F-score: 0.17547169811320756
```

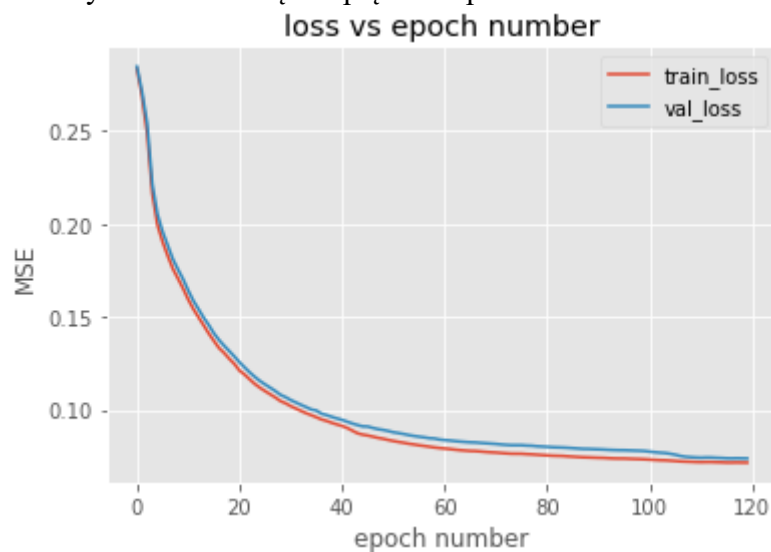
	actual 1	actual 0
predicted 1	93	865
predicted 0	9	55995

- Krzywa ROC



## 4.2. Wyniki drugiego podejścia:

- Uśredniona krzywa uczenia się dla pięciu etapów k-fold



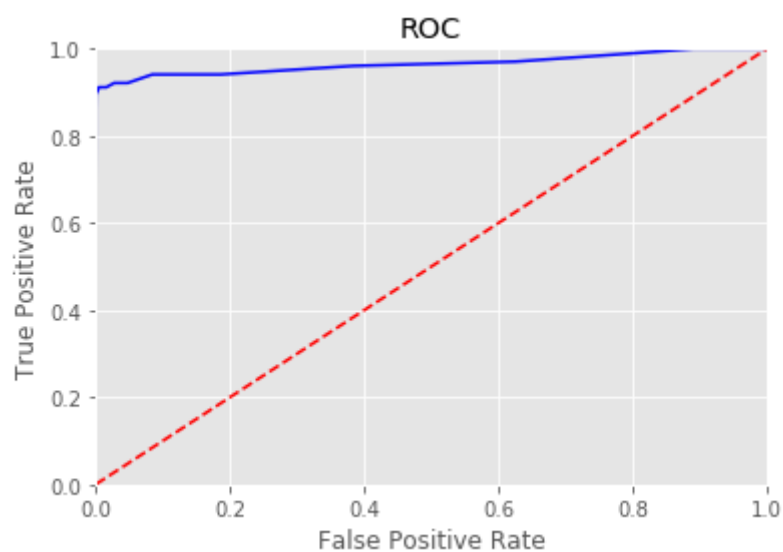
- Ewaluacja danych testowych, wartości f. kosztu, parametrów accuracy, precision, recall f-score oraz confusion matrix.

Loss: 0.0698601400928  
Accuracy: 0.9791439907306625

Precision: 0.056220095693779906  
Recall: 0.9215686274509803  
F-score: 0.10597519729425027

	actual 1	actual 0
predicted 1	94	1578
predicted 0	8	55282

- Krzywa ROC



### 4.3. Porównanie

Na uśrednionych krzywych uczenia dobrze widać iż sieć jest zaimplementowana i nauczona poprawnie. Wartość funkcji kosztu stopniowo maleje, a uczenie przerwano w momencie kiedy krzywa wypłaszcza się i zaczyna się przeuczenie sieci co owocuje widoczną minimalnie mniejszą wartością funkcji kosztu w końcowych epokach dla zbioru treningowego. Ewaluacja danych testowych w obu przypadkach odbyła się na identycznych danych. Widać, że w podejściu pierwszym dane wynikowe są minimalnie lepsze niż w przypadku podejścia drugiego jeżeli chodzi o m.in. dokładność (accuracy) czy precyzję (precision). Wartość czułości (recall) jest podobna w obu podejściach. Jest to jeden z ważniejszych parametrów bo w przypadku problemu wyszukiwania zdefraudowanych transakcji najważniejsze jest wykrycie jak największej ich ilości. Czułość (precision) w tym wypadku odgrywa mniejszą rolę. Minimalnie lepsze wyniki dla sieci z pierwszego podejścia prawdopodobnie wynikają z nauki na zdecydowanie mniejszej liczbie dobrych transakcji niż z drugiego podejścia. Prawdopodobnie wybrane tam dane, choć losowo, były dobrą reprezentacją całej klasy. Natomiast gorsze wyniki w drugim podejściu mogą być skutkiem trudności dopasowania się sieci do ciągle zmieniających dobrych transakcji.